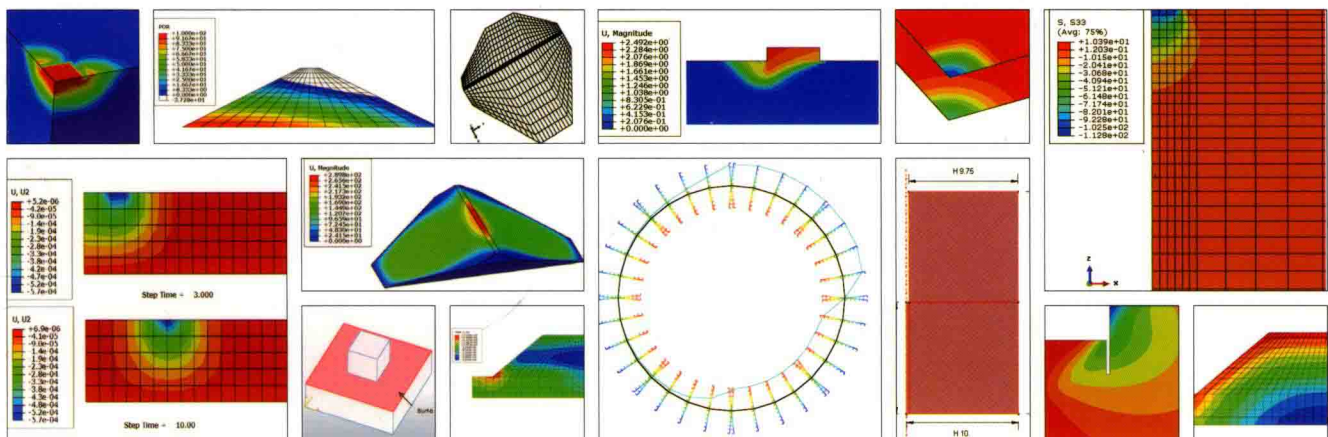


ABAQUS 岩土工程 实例详解

◎ 费康 彭勘 编著



1 本书讲透岩土工程核心理论与实践

10 余年 ABAQUS 工程经验的高度浓缩

62 个实例剖析工程应用与二次开发



● 全部案例源代码

● 图书 + 微信订阅号 + SimWe 论坛 = 可沟通交流
的生态系统教程



微信 (iCAX) 立体化阅读支持



中国工信出版集团



人民邮电出版社
POSTS & TELECOM PRESS

CAE分析大系

ABAQUS
岩土工程 实例详解

◎ 费康 彭勘 编著

人民邮电出版社
北京

图书在版编目 (C I P) 数据

ABAQUS岩土工程实例详解 / 费康, 彭勘编著. -- 北京 : 人民邮电出版社, 2017.1
(CAE分析大系)
ISBN 978-7-115-43881-2

I. ①A… II. ①费… ②彭… III. ①有限元分析—应用软件 IV. ①0241.82-39

中国版本图书馆CIP数据核字(2016)第256949号

内 容 提 要

本书系统地介绍了应用 ABAQUS 6.14 进行岩土工程数值分析的步骤及需要考虑的关键问题。

本书分为 3 篇, 共 15 章。基础篇 (第 1~4 章) 主要介绍了软件的功能, 岩土工程中常用的材料模型及算例, 接触理论, 以及用户子程序等基本知识; 应用篇 (第 5~11 章) 介绍了浅基础的地基承载力, 挡土结构的土压力, 饱和土的渗流固结, 非饱和土渗流问题, 桩基工作性状, 岩土开挖和堆载问题, 以及边坡稳定分析等问题的理论和算例; 提高篇 (第 12~15 章) 介绍了用户自定义材料、单元的二次开发、岩土动力问题和离散元分析等。

全书结构条理清晰, 实例丰富, 注重数值结果与岩土理论的对比, 并做了大量的扩展, 具有很强的实用性。

本书适合岩土工程、水利工程及结构工程等领域的高校教师、工程技术人员和研究生阅读, 也可作为岩土工程专业土木工程数值分析课程的参考书。

◆ 编 著 费 康 彭 勘
责任编辑 杨 璐
责任印制 陈 舜

◆ 人民邮电出版社出版发行 北京市丰台区成寿寺路 11 号
邮编 100164 电子邮件 315@ptpress.com.cn
网址 <http://www.ptpress.com.cn>
北京隆昌伟业印刷有限公司印刷

◆ 开本: 787×1092 1/16
印张: 25
字数: 758 千字 2017 年 1 月第 1 版
印数: 1—2 500 册 2017 年 1 月北京第 1 次印刷

定价: 69.80 元

读者服务热线: (010) 81055410 印装质量热线: (010) 81055316

反盗版热线: (010) 81055315

广告经营许可证: 京东工商广字第 8052 号

基础篇

第1章 ABAQUS 快速入门	10
1.1 ABAQUS 介绍	10
1.1.1 ABAQUS 概述	10
1.1.2 ABAQUS 软件体系	10
1.2 ABAQUS 通用约定	11
1.3 ABAQUS/CAE 基础	13
1.3.1 ABAQUS/CAE 的启动方式	14
1.3.2 ABAQUS/CAE 主界面构成	14
1.3.3 ABAQUS/CAE 中鼠标的使用	16
1.3.4 ABAQUS 的常用文件格式	17
1.4 ABAQUS/CAE 中的功能模块	19
1.4.1 Part (部件) 模块	20
1.4.2 Property (性质) 模块	25
1.4.3 Assembly (装配) 模块	29
1.4.4 Step (分析步) 模块	31
1.4.5 Interaction (相互作用) 模块	33
1.4.6 Load (荷载) 模块	36
1.4.7 Mesh (网格) 模块	38
1.4.8 Job (任务) 模块	44
1.4.9 Visualization (可视化) 模块	45
1.4.10 Sketch (草图) 模块	50
1.5 算例	50
1.5.1 矩形荷载作用下地基中的附加应力分布	50
1.5.2 三维大坝建模及分析	61
1.6 本章小结	67
第2章 ABAQUS 中的岩土材料模型	68
2.1 弹性模型	68
2.1.1 线弹性模型	68
2.1.2 多孔介质弹性模型	70
2.1.3 线黏弹性模型	72
2.2 塑性模型	74
2.2.1 Mohr-Coulomb 模型	74

2.2.2 扩展的 Drucker-Prager 模型	77
2.2.3 修正 Drucker-Prager 帽盖模型	82
2.2.4 临界状态塑性模型 (Critical state plasticity model)	85
2.3 算例	87
2.3.1 Mohr-Coulomb 材料的三轴固结排水试验模拟	87
2.3.2 修正剑桥模型材料的三轴固结排水试验模拟	92
2.3.3 黏弹性材料的循环剪切试验	94
2.4 本章小结	96
第3章 ABAQUS 中的接触理论	97
3.1 ABAQUS/Standard 中的接触对	97
3.1.1 基本特性	97
3.1.2 接触对算法	97
3.1.3 定义接触对	100
3.2 接触面相互作用力学模型	102
3.2.1 法向行为模型	102
3.2.2 切向行为模型	103
3.2.3 阻尼模型	105
3.2.4 黏结模型 (Surface-based cohesive behavior)	107
3.2.5 接触面的结果输出变量	107
3.3 ABAQUS/Standard 中的通用接触 (General Contact)	108
3.3.1 基本特性	108
3.3.2 定义方法	109
3.4 接触面模拟中可能遇到的问题	111
3.4.1 接触计算的诊断信息	111
3.4.2 接触面的初始相对位置	113
3.4.3 正确定义表面	115
3.4.4 避免迭代次数过多	115
3.4.5 避免过约束 (Overconstraints)	115
3.5 算例	116
3.5.1 库伦摩擦算例	116

3.5.2 黏结模型算例	120
3.5.3 不排水黏土中圆形桩的 水平承载力	122
3.5.4 考虑黏聚力的库伦摩擦	127
3.6 本章小结	129

第 4 章 ABAQUS 中的用户子程序 130

4.1 用户子程序简介	130
4.1.1 用户子程序类别	130
4.1.2 用户子程序编写规则	130
4.1.3 ABAQUS/CAE 中用户子程序 调用方式	131
4.2 用户自定义位移子程序 DISP	131
4.2.1 子程序功能	131
4.2.2 子程序格式和变量说明	131
4.2.3 应用实例	132
4.3 用户自定义分布荷载子程序 DLOAD	134
4.3.1 子程序功能	134
4.3.2 子程序格式和变量说明	134
4.3.3 应用实例	135
4.4 用户自定义接触面摩擦模型 子程序 FRIC	136
4.4.1 子程序功能	136
4.4.2 FRIC 子程序格式和变量说明	137
4.4.3 应用实例	138
4.5 用户自定义初始应力子程序 SIGINI	143
4.5.1 子程序功能	143
4.5.2 SIGINI 子程序格式和变量说明	143
4.6 用户自定义初始孔隙比 VOIDRI	144
4.6.1 子程序功能	144
4.6.2 VOIDRI 子程序格式和变量说明	144
4.7 常用应用程序	144
4.7.1 SINV 计算应力不变量	144
4.7.2 SPRINC 计算主应力/主应变	145
4.7.3 SPRIND 计算主应力/主应变 及方向	145
4.8 本章小结	145

应用篇

第 5 章 浅基础的地基承载力 147

5.1 地基破坏模式及极限承载力	147
5.1.1 地基破坏模式	147

5.1.2 承载力理论	148
5.2 算例	149
5.2.1 条形基础承载力	149
5.2.2 方形基础极限承载力	154
5.2.3 倾斜荷载作用下的条形基础	157
5.2.4 边坡上的条形基础	159
5.3 本章小结	162

第 6 章 挡土结构的土压力 163

6.1 土压力理论	163
6.1.1 静止土压力	163
6.1.2 主动土压力	163
6.1.3 被动土压力	164
6.2 算例	164
6.2.1 重力式挡土墙	164
6.2.2 加筋土挡墙	169
6.3 本章小结	172

第 7 章 饱和土的渗流固结 173

7.1 流固耦合分析步简介	173
7.1.1 适用范围	173
7.1.2 相关土力学概念	173
7.1.3 流体渗透/应力耦合分析步的 使用方式	174
7.1.4 计算注意事项	176
7.1.5 固结计算中的输出变量	179
7.2 算例	180
7.2.1 太沙基 (Terzaghi) 一维固结	180
7.2.2 蓄水问题	183
7.2.3 修正剑桥模型的固结不排水 三轴试验	185
7.2.4 一维剑桥黏土地基固结分析	189
7.2.5 土体固结问题中的曼德尔效应	196
7.3 本章小结	197

第 8 章 非饱和土渗流问题 198

8.1 渗流分析中的边界条件	198
8.1.1 典型边界条件	198
8.1.2 ABAQUS/Standard 中渗流边界 条件的模拟功能	199
8.2 非饱和渗流问题中的材料模型	200
8.2.1 饱和度对渗透性能的影响	200
8.2.2 饱和度与基质吸力之间的关系	200

8.3 算例.....	202	11.2 强度折减法在 ABAQUS 中的实现	269
8.3.1 悬挂式防渗墙防渗效果分析	202	11.3 算例.....	269
8.3.2 二维均质土坝的稳定渗流分析	205	11.3.1 二维均质土坡稳定性分析	269
8.3.3 边坡降雨入渗分析.....	211	11.3.2 含软弱下卧层的边坡稳定分析	274
8.4 本章小结.....	218	11.3.3 抗滑桩加固土坡稳定性分析	276
第 9 章 桩基工作性状分析	219	11.3.4 三维心墙堆石坝边坡稳定性分析	282
9.1 桩基承载力理论.....	219	11.4 本章小结.....	285
9.1.1 α 方法	219		
9.1.2 β 方法.....	220		
9.2 桩的加载速度	220		
9.3 算例.....	221		
9.3.1 不排水黏土地基中竖向受荷桩—— 不设置接触面	221		
9.3.2 不排水黏土地基中竖向受荷桩—— 设置接触面	224		
9.3.3 干砂地基中的竖向受荷桩—— 不设置接触面	226		
9.3.4 干砂地基中的竖向受荷桩—— 设置接触面	227		
9.3.5 不排水强度非均匀分布条件下 的竖向受荷桩	228		
9.3.6 剑桥黏土地基中的竖向受荷桩	231		
9.3.7 水平受荷桩	235		
9.3.8 钢筋混凝土桩的模拟	239		
9.4 本章小结	241		
第 10 章 岩土开挖和堆载问题	242		
10.1 ABAQUS 中的单元生死功能	242		
10.1.1 单元的移除	242		
10.1.2 单元的激活	243		
10.1.3 接触对的移除和激活	243		
10.1.4 单元生死操作中的注意事项	244		
10.2 开挖算例	244		
10.2.1 隧道开挖分析（软化模量法）	244		
10.2.2 隧道开挖分析（收敛约束法）	250		
10.2.3 悬臂式基坑开挖模拟	253		
10.2.4 内撑式基坑开挖模拟	259		
10.2.5 堆载预压模拟	264		
10.3 本章小结	267		
第 11 章 边坡稳定性分析	268		
11.1 强度折减法的基本原理	268		
11.2 强度折减法在 ABAQUS 中的实现	269		
11.3 算例.....	269		
11.3.1 二维均质土坡稳定性分析	269		
11.3.2 含软弱下卧层的边坡稳定分析	274		
11.3.3 抗滑桩加固土坡稳定性分析	276		
11.3.4 三维心墙堆石坝边坡稳定性分析	282		
11.4 本章小结	285		
		提 高 篇	
第 12 章 用户自定义材料	287		
12.1 ABAQUS 中的非线性问题 求解方法	287		
12.1.1 Newton（牛顿）迭代方法	287		
12.1.2 非线性问题的收敛控制标准	288		
12.2 UMAT 子程序简介	288		
12.2.1 子程序功能	288		
12.2.2 子程序格式和变量说明	288		
12.2.3 CAE 中自定义材料的设置方法	290		
12.3 邓肯模型的二次开发	291		
12.3.1 基本理论	291		
12.3.2 邓肯模型 UMAT 子程序编写	291		
12.4 邓肯模型算例	296		
12.4.1 三轴压缩试验	296		
12.4.2 土石坝施工过程模拟	301		
12.5 等效线性黏弹性模型的二次开发	305		
12.5.1 基本理论	305		
12.5.2 等效线性黏弹性模型 UMAT 子程序编写	306		
12.6 黏弹性模型算例	311		
12.7 边界面模型的二次开发	313		
12.7.1 基本理论	313		
12.7.2 应力积分算法的选择	315		
12.7.3 边界面模型 UMAT 子程序编写	316		
12.8 边界面模型算例	321		
12.8.1 等向压缩试验	321		
12.8.2 三轴排水压缩算例	324		
12.8.3 不排水动三轴模拟	325		
12.9 本章小结	327		
第 13 章 用户自定义单元	328		
13.1 UEL 子程序简介	328		
13.1.1 子程序功能	328		

13.1.2 UEL 工作原理	328	14.3.2 显式方法适用的问题类型	355
13.1.3 子程序格式和变量说明	329	14.3.3 显式算法的条件稳定性	355
13.2 UELMAT 子程序简介	330	14.3.4 显式积分算法中的时间 步长控制	356
13.2.1 子程序功能	330	14.3.5 使用显式积分算法求解 —— 动力问题	357
13.2.2 适用范围	331	14.4 隐式与显式求解方法的比较	358
13.2.3 子程序格式和变量说明	331	14.4.1 一般比较	358
13.2.4 配套使用子程序 MATERIAL_LIB_MECH	332	14.4.2 节点自由度增加对计算资源 耗费的影响	358
13.3 自定义单元的使用方法	332	14.5 算例分析	359
13.4 平面三节点线弹性梁单元	335	14.5.1 水平地基的自振频率与振型	359
UEL 子程序	335	14.5.2 二维理想土坝的自振频率 和振型	360
13.4.1 单元基本理论	335	14.5.3 线性水平地基地震反应的振型 叠加法分析	363
13.4.2 程序代码及说明	336	14.5.4 线性水平地基地震反应的 隐式分析	368
13.5 平面四节点无厚度接触面单元的	338	14.5.5 线性水平地基地震反应的 显式分析	369
UEL 子程序	338	14.5.6 水平地基地震反应的等效线性 分析——隐式法	371
13.5.1 单元基本理论	338	14.5.7 水平地基地震反应的等效线性 分析——显式法	378
13.5.2 程序代码及说明	340	14.5.8 地基中波的传播特性	381
13.5.3 程序验证	343	14.5.9 动力分析中无限边界条件 的模拟	383
13.6 平面应变四节点单元的 UELMAT	344	14.6 本章小结	387
子程序	344	第 14 章 岩土动力分析	350
13.7 本章小结	349	14.1 ABAQUS 中的动力求解方法	350
		14.1.1 模态分析方法	350
		14.1.2 直接积分法	351
		14.1.3 动力分析中的阻尼	352
		14.2 ABAQUS/Standard 中的隐式	353
		14.2.1 隐式积分方法的特点	353
		14.2.2 隐式积分算法中的时间 步长控制	353
		14.2.3 使用隐式积分算法求解 动力问题	354
		14.3 ABAQUS/Explicit 中的显式	354
		14.3.1 显式积分方法的特点	354
		第 15 章 ABAQUS 中的离散元	388
		15.1 基本介绍	388
		15.2 分析设置	388
		15.3 算例	390
		15.3.1 颗粒坍塌模拟	390
		15.3.2 直剪试验模拟	396
		15.4 本章小结	399
		参考文献	400

CAE分析大系

ABAQUS
岩土工程 实例详解

◎ 费康 彭勘 编著

人民邮电出版社
北京

图书在版编目 (C I P) 数据

ABAQUS岩土工程实例详解 / 费康, 彭勘编著. -- 北京 : 人民邮电出版社, 2017.1
(CAE分析大系)
ISBN 978-7-115-43881-2

I. ①A… II. ①费… ②彭… III. ①有限元分析—应
用软件 IV. ①0241.82-39

中国版本图书馆CIP数据核字(2016)第256949号

内 容 提 要

本书系统地介绍了应用 ABAQUS 6.14 进行岩土工程数值分析的步骤及需要考虑的关键问题。

本书分为 3 篇, 共 15 章。基础篇 (第 1~4 章) 主要介绍了软件的功能, 岩土工程中常用的材料模型及算例, 接触理论, 以及用户子程序等基本知识; 应用篇 (第 5~11 章) 介绍了浅基础的地基承载力, 挡土结构的土压力, 饱和土的渗流固结, 非饱和土渗流问题, 桩基工作性状, 岩土开挖和堆载问题, 以及边坡稳定分析等问题的理论和算例; 提高篇 (第 12~15 章) 介绍了用户自定义材料、单元的二次开发、岩土动力问题和离散元分析等。

全书结构条理清晰, 实例丰富, 注重数值结果与岩土理论的对比, 并做了大量的扩展, 具有很强的实用性。

本书适合岩土工程、水利工程及结构工程等领域的高校教师、工程技术人员和研究生阅读, 也可作为岩土工程专业土木工程数值分析课程的参考书。

◆ 编 著	费 康	彭 勘
责任编辑	杨 璐	
责任印制	陈 舜	
◆ 人民邮电出版社出版发行	北京市丰台区成寿寺路 11 号	
邮编 100164	电子邮件 315@ptpress.com.cn	
网址 http://www.ptpress.com.cn		
北京隆昌伟业印刷有限公司印刷		
◆ 开本: 787×1092 1/16		
印张: 25		
字数: 758 千字	2017 年 1 月第 1 版	
印数: 1—2 500 册	2017 年 1 月北京第 1 次印刷	

定价: 69.80 元

读者服务热线: (010) 81055410 印装质量热线: (010) 81055316

反盗版热线: (010) 81055315

广告经营许可证: 京东工商广字第 8052 号

岩土工程分析中，由于岩土体应力应变关系的非线性、荷载及边界条件的复杂性，用解析方法求解难度很大，通常需要采用数值方法进行求解，数值分析结果是岩土工程师对问题进行判断的重要依据之一。ABAQUS 是一款功能强大的通用有限元软件，包含十分丰富的材料模型、单元模式、荷载及边界条件，能够求解静力、动力等多种问题，尤其在求解非线性问题方面的能力十分优异，对岩土工程有较好的适用性。

岩土数值分析要取得比较好的效果，一是要熟悉分析软件的功能及特点，二是要掌握相关数学、力学理论，本书在编写时充分考虑了这两者之间的关系。建议读者在学习时先将基本例子吃透，并与理论知识进行对比，分析计算假设及结果的异同，在此基础上进行拓展，进而解决实际工程问题。

» 主要内容

本书结合 ABAQUS 6.14，将内容分为三篇共 15 章，对 ABAQUS 在岩土工程中的应用进行了讲解，即基础篇（第 1~4 章）、应用篇（第 5~11 章）和提高篇（第 12~15 章）。入门篇主要介绍软件的功能、岩土工程中常用本构关系、接触面理论和用户子程序构成等基本知识，这部分内容可帮助读者快速入门。应用篇中结合浅基础的地基承载力、挡土结构的土压力、饱和土的渗流固结、非饱和土的渗流、桩基工作性状、岩土开挖和堆载问题和边坡稳定分析等具体问题，通过一系列算例详细介绍了模型建立、问题求解和结果后处理的具体过程。通过这部分的学习，读者应能利用 ABAQUS 分析常见的岩土工程问题，并增加对相关岩土工程理论的认识。提高篇中介绍了用户自定义材料和单元的二次开发、如何用隐式和显式方法求解岩土动力问题、离散元分析等主要内容，这部分内容可帮助读者结合需求，进行二次开发，扩展 ABAQUS 软件在岩土工程中的应用范围。

本书提供了书中所有章节涉及的 62 个实例的模型文件及用户子程序 for 文件，以供读者参考。

» 统一技术支持

读者在学习过程中遇到困难，可以通过我们的立体化服务平台（微信公众服务号：iCAX）联系，我们会尽量帮助读者解答问题。此外，在这个平台上我们还会分享更多的相关资源。微信扫描下面二维码就可以查看相关内容。

微信公众服务号：iCAX



读者如果无法通过微信访问，也可以给我们发邮件：iCAX@dozan.cn。

» 分工与说明

全书编写分工如下：全书章节安排及统稿由费康负责，第 1、2、3、4、5、6、10、11、12、13、15 章由费康执笔，第 7、8 章由彭勍执笔，第 9 章由秦红玉执笔，第 14 章由丰土根执笔。

需要指出，本书力求详尽的解释利用 ABAQUS 软件进行岩土工程数值分析的步骤及需考虑的关键因素，但由于时间仓促，作者水平有限，书中难免有错漏之处，恳请广大读者批评指正。

基础篇

第1章 ABAQUS 快速入门	10
1.1 ABAQUS 介绍	10
1.1.1 ABAQUS 概述	10
1.1.2 ABAQUS 软件体系	10
1.2 ABAQUS 通用约定	11
1.3 ABAQUS/CAE 基础	13
1.3.1 ABAQUS/CAE 的启动方式	14
1.3.2 ABAQUS/CAE 主界面构成	14
1.3.3 ABAQUS/CAE 中鼠标的使用	16
1.3.4 ABAQUS 的常用文件格式	17
1.4 ABAQUS/CAE 中的功能模块	19
1.4.1 Part (部件) 模块	20
1.4.2 Property (性质) 模块	25
1.4.3 Assembly (装配) 模块	29
1.4.4 Step (分析步) 模块	31
1.4.5 Interaction (相互作用) 模块	33
1.4.6 Load (荷载) 模块	36
1.4.7 Mesh (网格) 模块	38
1.4.8 Job (任务) 模块	44
1.4.9 Visualization (可视化) 模块	45
1.4.10 Sketch (草图) 模块	50
1.5 算例	50
1.5.1 矩形荷载作用下地基中的附加应力分布	50
1.5.2 三维大坝建模及分析	61
1.6 本章小结	67
第2章 ABAQUS 中的岩土材料模型	68
2.1 弹性模型	68
2.1.1 线弹性模型	68
2.1.2 多孔介质弹性模型	70
2.1.3 线黏弹性模型	72
2.2 塑性模型	74
2.2.1 Mohr-Coulomb 模型	74

2.2.2 扩展的 Drucker-Prager 模型	77
2.2.3 修正 Drucker-Prager 帽盖模型	82
2.2.4 临界状态塑性模型 (Critical state plasticity model)	85
2.3 算例	87
2.3.1 Mohr-Coulomb 材料的三轴固结排水试验模拟	87
2.3.2 修正剑桥模型材料的三轴固结排水试验模拟	92
2.3.3 黏弹性材料的循环剪切试验	94
2.4 本章小结	96
第3章 ABAQUS 中的接触理论	97
3.1 ABAQUS/Standard 中的接触对	97
3.1.1 基本特性	97
3.1.2 接触对算法	97
3.1.3 定义接触对	100
3.2 接触面相互作用力学模型	102
3.2.1 法向行为模型	102
3.2.2 切向行为模型	103
3.2.3 阻尼模型	105
3.2.4 黏结模型 (Surface-based cohesive behavior)	107
3.2.5 接触面的结果输出变量	107
3.3 ABAQUS/Standard 中的通用接触 (General Contact)	108
3.3.1 基本特性	108
3.3.2 定义方法	109
3.4 接触面模拟中可能遇到的问题	111
3.4.1 接触计算的诊断信息	111
3.4.2 接触面的初始相对位置	113
3.4.3 正确定义表面	115
3.4.4 避免迭代次数过多	115
3.4.5 避免过约束 (Overconstraints)	115
3.5 算例	116
3.5.1 库伦摩擦算例	116

3.5.2 黏结模型算例	120
3.5.3 不排水黏土中圆形桩的 水平承载力	122
3.5.4 考虑黏聚力的库伦摩擦	127
3.6 本章小结	129
第4章 ABAQUS 中的用户子程序	130
4.1 用户子程序简介	130
4.1.1 用户子程序类别	130
4.1.2 用户子程序编写规则	130
4.1.3 ABAQUS/CAE 中用户子程序 调用方式	131
4.2 用户自定义位移子程序 DISP	131
4.2.1 子程序功能	131
4.2.2 子程序格式和变量说明	131
4.2.3 应用实例	132
4.3 用户自定义分布荷载子程序 DLOAD	134
4.3.1 子程序功能	134
4.3.2 子程序格式和变量说明	134
4.3.3 应用实例	135
4.4 用户自定义接触面摩擦模型 子程序 FRIC	136
4.4.1 子程序功能	136
4.4.2 FRIC 子程序格式和变量说明	137
4.4.3 应用实例	138
4.5 用户自定义初始应力子程序 SIGINI	143
4.5.1 子程序功能	143
4.5.2 SIGINI 子程序格式和变量说明	143
4.6 用户自定义初始孔隙比 VOIDRI	144
4.6.1 子程序功能	144
4.6.2 VOIDRI 子程序格式和变量说明	144
4.7 常用应用程序	144
4.7.1 SINV 计算应力不变量	144
4.7.2 SPRINC 计算主应力/主应变	145
4.7.3 SPRIND 计算主应力/主应变 及方向	145
4.8 本章小结	145

应用篇

第5章 浅基础的地基承载力	147
5.1 地基破坏模式及极限承载力	147
5.1.1 地基破坏模式	147

5.1.2 承载力理论	148
5.2 算例	149
5.2.1 条形基础承载力	149
5.2.2 方形基础极限承载力	154
5.2.3 倾斜荷载作用下的条形基础	157
5.2.4 边坡上的条形基础	159
5.3 本章小结	162

第6章 挡土结构的土压力

6.1 土压力理论	163
6.1.1 静止土压力	163
6.1.2 主动土压力	163
6.1.3 被动土压力	164
6.2 算例	164
6.2.1 重力式挡土墙	164
6.2.2 加筋土挡墙	169
6.3 本章小结	172

第7章 饱和土的渗流固结

7.1 流固耦合分析步简介	173
7.1.1 适用范围	173
7.1.2 相关土力学概念	173
7.1.3 流体渗透/应力耦合分析步的 使用方式	174
7.1.4 计算注意事项	176
7.1.5 固结计算中的输出变量	179
7.2 算例	180
7.2.1 太沙基 (Terzaghi) 一维固结	180
7.2.2 蓄水问题	183
7.2.3 修正剑桥模型的固结不排水 三轴试验	185
7.2.4 一维剑桥黏土地基固结分析	189
7.2.5 土体固结问题中的曼德尔效应	196
7.3 本章小结	197

第8章 非饱和土渗流问题

8.1 渗流分析中的边界条件	198
8.1.1 典型边界条件	198
8.1.2 ABAQUS/Standard 中渗流边界 条件的模拟功能	199
8.2 非饱和渗流问题中的材料模型	200
8.2.1 饱和度对渗透性能的影响	200
8.2.2 饱和度与基质吸力之间的关系	200

8.3 算例	202	11.2 强度折减法在 ABAQUS 中的实现	269
8.3.1 悬挂式防渗墙防渗效果分析	202	11.3 算例	269
8.3.2 二维均质土坝的稳定渗流分析	205	11.3.1 二维均质土坡稳定性分析	269
8.3.3 边坡降雨入渗分析	211	11.3.2 含软弱下卧层的边坡稳定分析	274
8.4 本章小结	218	11.3.3 抗滑桩加固土坡稳定性分析	276
第 9 章 桩基工作性状分析	219	11.3.4 三维心墙堆石坝边坡稳定性分析	282
9.1 桩基承载力理论	219	11.4 本章小结	285
9.1.1 α 方法	219		
9.1.2 β 方法	220		
9.2 桩的加载速度	220		
9.3 算例	221		
9.3.1 不排水黏土地基中竖向受荷桩—— 不设置接触面	221	提 高 篇	
9.3.2 不排水黏土地基中竖向受荷桩—— 设置接触面	224	第 12 章 用户自定义材料	287
9.3.3 干砂地基中的竖向受荷桩—— 不设置接触面	226	12.1 ABAQUS 中的非线性问题 求解方法	287
9.3.4 干砂地基中的竖向受荷桩—— 设置接触面	227	12.1.1 Newton (牛顿) 迭代方法	287
9.3.5 不排水强度非均匀分布条件下 的竖向受荷桩	228	12.1.2 非线性问题的收敛控制标准	288
9.3.6 剑桥黏土地基中的竖向受荷桩	231	12.2 UMAT 子程序简介	288
9.3.7 水平受荷桩	235	12.2.1 子程序功能	288
9.3.8 钢筋混凝土桩的模拟	239	12.2.2 子程序格式和变量说明	288
9.4 本章小结	241	12.2.3 CAE 中自定义材料的设置方法	290
第 10 章 岩土开挖和堆载问题	242	12.3 邓肯模型的二次开发	291
10.1 ABAQUS 中的单元生死功能	242	12.3.1 基本理论	291
10.1.1 单元的移除	242	12.3.2 邓肯模型 UMAT 子程序编写	291
10.1.2 单元的激活	243	12.4 邓肯模型算例	296
10.1.3 接触对的移除和激活	243	12.4.1 三轴压缩试验	296
10.1.4 单元生死操作中的注意事项	244	12.4.2 土石坝施工过程模拟	301
10.2 开挖算例	244	12.5 等效线性黏弹性模型的二次开发	305
10.2.1 隧道开挖分析 (软化模量法)	244	12.5.1 基本理论	305
10.2.2 隧道开挖分析 (收敛约束法)	250	12.5.2 等效线性黏弹性模型 UMAT 子程序编写	306
10.2.3 悬臂式基坑开挖模拟	253	12.6 黏弹性模型算例	311
10.2.4 内撑式基坑开挖模拟	259	12.7 边界面模型的二次开发	313
10.2.5 堆载预压模拟	264	12.7.1 基本理论	313
10.3 本章小结	267	12.7.2 应力积分算法的选择	315
第 11 章 边坡稳定性分析	268	12.7.3 边界面模型 UMAT 子程序编写	316
11.1 强度折减法的基本原理	268	12.8 边界面模型算例	321
		12.8.1 等向压缩试验	321
		12.8.2 三轴排水压缩算例	324
		12.8.3 不排水动三轴模拟	325
		12.9 本章小结	327
第 13 章 用户自定义单元	328		
13.1 UEL 子程序简介	328		
13.1.1 子程序功能	328		

13.1.2 UEL 工作原理	328	14.3.2 显式方法适用的问题类型	355
13.1.3 子程序格式和变量说明	329	14.3.3 显式算法的条件稳定性	355
13.2 UELMAT 子程序简介	330	14.3.4 显式积分算法中的时间 步长控制	356
13.2.1 子程序功能	330	14.3.5 使用显式积分算法求解 —— 动力问题	357
13.2.2 适用范围	331	14.4 隐式与显式求解方法的比较	358
13.2.3 子程序格式和变量说明	331	14.4.1 一般比较	358
13.2.4 配套使用子程序 MATERIAL_LIB_MECH	332	14.4.2 节点自由度增加对计算资源 耗费的影响	358
13.3 自定义单元的使用方法	332	14.5 算例分析	359
13.4 平面三节点线弹性梁单元		14.5.1 水平地基的自振频率与振型	359
UEL 子程序	335	14.5.2 二维理想土坝的自振频率 和振型	360
13.4.1 单元基本理论	335	14.5.3 线性水平地基地震反应的振型 叠加法分析	363
13.4.2 程序代码及说明	336	14.5.4 线性水平地基地震反应的 隐式分析	368
13.5 平面四节点无厚度接触面单元的		14.5.5 线性水平地基地震反应的 显式分析	369
UEL 子程序	338	14.5.6 水平地基地震反应的等效线性 分析——隐式法	371
13.5.1 单元基本理论	338	14.5.7 水平地基地震反应的等效线性 分析——显式法	378
13.5.2 程序代码及说明	340	14.5.8 地基中波的传播特性	381
13.5.3 程序验证	343	14.5.9 动力分析中无限边界条件 的模拟	383
13.6 平面应变四节点单元的 UELMAT		14.6 本章小结	387
子程序	344		
13.7 本章小结	349	第 14 章 岩土动力分析	350
14.1 ABAQUS 中的动力求解方法	350	14.1 ABAQUS 中的动力求解方法	350
14.1.1 模态分析方法	350	14.1.1 模态分析方法	350
14.1.2 直接积分法	351	14.1.2 直接积分法	351
14.1.3 动力分析中的阻尼	352	14.1.3 动力分析中的阻尼	352
14.2 ABAQUS/Standard 中的隐式		14.2 ABAQUS/Standard 中的隐式	
积分算法	353	积分算法	353
14.2.1 隐式积分方法的特点	353	14.2.1 隐式积分方法的特点	353
14.2.2 隐式积分算法中的时间 步长控制	353	14.2.2 隐式积分算法中的时间 步长控制	353
14.2.3 使用隐式积分算法求解 动力问题	354	14.2.3 使用隐式积分算法求解 动力问题	354
14.3 ABAQUS/Explicit 中的显式		14.3 ABAQUS/Explicit 中的显式	
积分算法	354	积分算法	354
14.3.1 显式积分方法的特点	354	14.3.1 显式积分方法的特点	354
第 15 章 ABAQUS 中的离散元	388	15.1 基本介绍	388
15.1 基本介绍	388	15.2 分析设置	388
15.2 分析设置	388	15.3 算例	390
15.3 算例	390	15.3.1 颗粒坍塌模拟	390
15.4 本章小结	399	15.3.2 直剪试验模拟	396
参考文献	400		



基础篇

主要介绍软件的功能、岩土工程中的常用本构关系、接触面理论和用户子程序构成等基本知识。

ABAQUS 快速入门

本章导读

岩土工程分析中，由于岩土体本构关系的非线性、荷载及边界条件的复杂性，用解析方法求解难度很大，通常需要采用数值方法进行计算，数值分析结果是岩土工程师对问题进行判断的重要依据之一。有限元法可以在计算中真实地反映材料的非线性本构关系，能实现各种复杂的边界条件，是岩土工程数值分析中最常采用，也是最强有力的分析方法。

ABAQUS 是一款功能强大的通用有限元软件，包含十分丰富的材料模型、单元模式、荷载及边界条件，能够求解静力、动力等多种问题，尤其在求解非线性问题方面的能力十分优异，对岩土工程有较好的适用性。本章介绍 ABAQUS 的功能与特点，并通过求解地基附加应力分布、三维大坝建模的实例帮助读者快速入门。

本章要点

- ABAQUS 通用约定
- ABAQUS/CAE 基础
- CAE 的功能模块的主要功能及菜单
- 地基中附加应力分布计算实例
- 三维大坝建模实例

1.1 ABAQUS 介绍

1.1.1 ABAQUS 概述

ABAQUS 公司成立于 1978 年，创始人是 David Hibbit、Bengt Karlsson 和 Paul Sorenson，前身名叫 HKS。2002 年公司改名为 ABAQUS，2005 年被法国达索公司（Dassault Systèmes, DS）收购，2007 年更名为 SIMULIA，ABAQUS 是达索公司的重要产品之一。经过多年的积累，ABAQUS 已经从最初的 15000 行 FORTRAN 程序发展成了一款前后处理功能强大、求解模块丰富、适用范围广的有限元软件，目前最新版本是 6.14。



注意：

本书中若不加说明，ABAQUS 都指代 ABAQUS 6.14-1。当然，本书的绝大多数内容也适合 ABAQUS 的其他版本。

1.1.2 ABAQUS 软件体系

ABAQUS 软件体系主要由前后处理模块、通用分析模块、专用分析模块和与第三方软件的接口模块所组成。

1. 前后处理模块

(1) ABAQUS/CAE。

ABAQUS/CAE 提供了利用 ABAQUS 进行问题求解的交互式图形用户界面，具有强大的前、后处理功能，涵盖了有限元分析的各个步骤，如建立模型的几何形状、选择材料模型及设定材料参数、选择分析过程的类